

ПОЛЯРИЗАЦИОННЫЕ ПАРАМЕТРЫ Σ , T , P ДЛЯ РЕАКЦИИ $\gamma p \rightarrow p\pi^0$
В ИНТЕРВАЛЕ ЭНЕРГИЙ $0,9 \div 1,5$ ГэВ ПРИ $\theta_{\pi^0}^{\text{С.Ц.М.}} = 120^\circ$

М.М. Асатуриан, А.А. Беляев¹⁾, Г.А. Вартапетян,
А.Л. Голендухин, А.Я. Деркач¹⁾, А.П. Казарян,
И.М. Карнаухов¹⁾, А.А. Луханин¹⁾, Ж.В. Манукян,
Э.Г. Мурадян, А.М. Сирунян, П.В. Сорокин¹⁾, В.А. Экизян

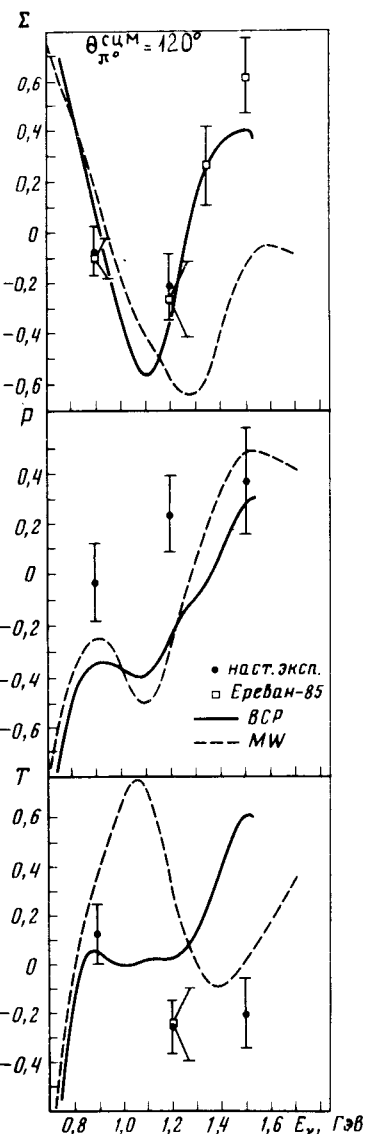
Для реакции $\gamma p \rightarrow p\pi^0$ при $\theta_{\pi^0}^{\text{С.Ц.М.}} = 120^\circ$ проведен дважды-поляризационный эксперимент типа "пучок-мишень" и измерены одновременно три поляризационных параметра Σ , T и P в интервале энергий $0,9 \div 1,5$ ГэВ. Полученные результаты сравниваются с существующими модельными предсказаниями в резонансной области.

Исследование реакций одиночного фоторождения пионов на нуклонах в энергетической области возбуждения πN -резонансов позволяет получить информацию о свойствах нуклонных резонансов в рамках различных феноменологических анализов ^{1, 2}, в частности, определить их электромагнитные константы связи для проверки предсказаний модели кварков ³. При этом наиболее информативны данные поляризационных экспериментов. Ценность данных по поляризационным параметрам существенно увеличивается, если они имеют внутреннюю совместимость, т.е. получены в рамках одного эксперимента. Одновременное использование пучка линейно-поляризованных фотонов и поляризованной протонной мишени позволяет получить информацию сразу о трех наблюдаемых ⁴: Σ -асимметрии сечения для линейно-поляризованных фотонов, T -асимметрии сечения на поляризованной протонной мишени и P -поляризации нуклона отдачи. В настоящей работе приведены результаты измерения Σ , P , T -параметров из дважды-поляризационного эксперимента типа "пучок-мишень" для реакции фоторождения π^0 -мезонов при угле $\theta_{\pi^0}^{\text{С.Ц.М.}} = 120^\circ$ в СЦМ и энергиях фотонов $E_\gamma = 0,9; 1,2; 1,5$ ГэВ. Аналогичные экспериментальные данные в литературе отсутствуют.

Эксперимент выполнен на пучке линейно-поляризованных фотонов ереванского синхротрона с энергией 4,5 ГэВ, используя метод когерентного тормозного излучения электронов

¹⁾ Харьковский физико-технический институт АН УССР.

в монокристалле алмаза ⁵. Измерения проводились на поляризованной мишени ХФТИ АН УССР ⁶. В качестве рабочего вещества мишени использовался 1,2-пропилен-гликоль ($C_3H_8O_2$) с комплексом HMBA-Cr^V. Поляризация протонов при температуре 0,5 К в магнитном поле 2,7 Тл достигала 75%. Регистрация протонов отдачи осуществлялась магнитным спектрометром ⁷, где разделение протонов от π^+ -мезонов производилось по времени пролета. Для выделения двухчастичной реакции магнитный спектрометр был включен



Энергетическая зависимость поляризационных наблюдаемых Σ ; P , T . Точки: • – результаты настоящей работы, □ – результаты работы ¹¹

на совпадение с черенковским счетчиком полного поглощения ⁸, регистрирующим один фотон от распада π^0 -мезона. В связи со сложным химическим составом рабочего вещества мишени вклад в экспериментальные выходы дают также процессы фотообразования на внутриддерных нуклонах. Поэтому полный выход исследуемого процесса может быть представлен в виде ⁹:

$$C = C_0^H [1 - P_\gamma \Sigma \cos 2\Phi + P_\gamma (T - P_\gamma P \cos 2\Phi)] + C_0^A [1 - \bar{P}_\gamma \Sigma_A \cos 2\Phi], \quad (1)$$

где C_0^H и C_0^A – соответственно выходы с неполяризованными начальными частицами на свободных протонах и ядрах мишени, P_γ – поляризация фотонов, усредненная по энергети-

ческому захвату экспериментальной установки, \bar{P}_γ – поляризация фотонов с учетом внутривядерного движения нуклонов, P_y – степень поляризации протонов мишени, Σ_α – асимметрия сечения фотоядерных процессов на линейно-поляризованном пучке γ -квантов, Φ – угол между вектором поляризации фотонов и плоскостью реакции.

Для определения Σ -, T - и P -параметров с помощью выражения (1) нами была реализована методика, аналогичная работе ¹⁰: а) измерялись выходы для различных комбинаций направлений векторов поляризации фотонов (\perp – перпендикулярной и \parallel – параллельной плоскости реакции: $\Phi = 90^\circ$ и 0° , соответственно) и поляризации мишени (\uparrow – вверх и \downarrow – вниз относительно нормали к плоскости реакции) – $C_\perp^\uparrow, C_\parallel^\uparrow, C_\perp^\downarrow, C_\parallel^\downarrow$; б) проводились дополнительные измерения на углеродной (C) и полиэтиленовой (CH_2) мишениях эквивалентной толщины для оценки вклада фотоядерных реакций на связанных нуклонах ядер мишени – $C_\perp^{\text{CH}_2}, C_\parallel^{\text{CH}_2}, C_\perp^{\text{C}}, C_\parallel^{\text{C}}$; в) проводились фоновые измерения на пустом и заполненном ${}^3\text{He}$ аппендиксе мишени для различных направлений вектора поляризации фотонов. В результате эксперимента получены значения Σ -, T - и P -параметров для $E_\gamma = 0,9; 1,2; 1,5$ ГэВ и угле вылета пиона $\theta_{\pi^*} = 120^\circ$ в СЦМ. Полученная из данных моделирования методом Монте-Карло ⁹ разрешающая способность экспериментальной аппаратуры по энергии фотонов и углу вылета пиона в СЦМ составляла в среднем $\sigma_{E_\gamma} \cong 60$ МэВ и $\sigma_{\theta^*} \cong 0,7^\circ$, соответственно. Вклад фоновых процессов от парного рождения пионов оценивался экспериментально при "нарушенной" двухчастичной кинематике и не превышал 6% ⁵. На рисунке представлены экспериментальные результаты, где ошибки включают статистические неопределенности измеряемых выходов, а также ошибки в определении поляризации фотонов ($\sim 10\%$) и поляризации протонов ($\sim 10\%$). На этом же рисунке приведены предсказания феноменологических анализов Меткалфа и Уокера ¹, основанного на изобарной модели, и Барбоура и др. ², выполненного на основе дисперсионных соотношений при фиксированном переданном импульсе. Как видно, данные по Σ -асимметрии качественно согласуются с кривой анализа ¹, но ни один из анализов не описывает удовлетворительно экспериментальные данные по T - и P -параметрам. Обнаруживаемое расхождение указывает на необходимость проведения полных феноменологических анализов с включением также полученных данных.

Литература

1. Metcalf W.J., Walker R.L. Nucl. Phys., 1974, **B76**, 253.
2. Barbour I.M., Crawford R.L., Parsons N.H. Nucl. Phys., 1978, **B141**, 253.
3. Isgur N., Karl. G. Phys. Lett., 1977, **72B**, 109.
4. Worden R.P. Nucl. Phys., 1972, **B37**, 253.
5. Abrahamian L.O., Avakian R.O., Aganians A.O. et al. Phys. Lett., 1974, **48B**, 467.
6. Асатурян М.М., Беляев А.А., Вартапетян Г.А. и др. Препринт ЕФИ-810(37)-85, Ереван, 1985.
7. Абрамян Л.О., Аганянц А.О., Адамян Ф.В. и др. ПТЭ, 1973, № 2, 60.
8. Abrahamian L.O., Aganians A.O., Adamian F.V. et al. Phys. Lett., 1973, **44B**, 301.
9. Голендухин А.Л., Казарян А.П., Манукян Ж.В., Сирунян А.М. Изв. АН Арм. ССР, серия Физика, 1985, **20**, 301.
10. Bussey P.J., Raine C., Rutherford J.G. et al. Nucl. Phys., 1979, **B154**, 492.
11. Асатурян М.М., Беляев А.А., Вартапетян Г.А. и др. ВАНТ, серия "Общая и ядерная физика", 1986, **41**, вып. 2.